

УДК 629.7.036.34

## **МОДЕЛИРОВАНИЕ РОТОРНЫХ ДИНАМИЧЕСКИХ СИСТЕМ С ПРОСТРАНСТВЕННЫМ РАСПОЛОЖЕНИЕМ ВАЛОВ**

**ЛЕОНТЬЕВ Михаил Константинович**

д.т.н. профессор МАИ (Москва)

**ИВАНОВ Александр Владимирович**

к.т.н., доцент МАИ (Москва)

**ДЕГТЯРЕВ Сергей Александрович**

Руководитель направления ООО "Альфа-Транзит" (Химки)

### **Аннотация**

*Стержневые модели роторных систем и модальные методы их анализа продолжают оставаться востребованными при решении практических задач роторной динамики вращающихся машин. Существующие алгоритмы и программы анализа таких моделей в основном решают задачи в осесимметричной постановке. Вместе с тем существует большое количество конструкций, в которых требуется строить многовальные модели роторных систем с пространственным расположением осей их подсистем - валов и корпусных элементов, и связей между ними. В статье рассматривается построение уравнений движения для такого рода систем, позволяющих проводить расчеты совместных изгибно-продольно-крутильных колебаний любой пространственной системы, включающей подсистемы с параллельными, скрещивающимися, пересекающимися осями. Приводятся пример расчета такой системы в программе для расчета динамических характеристик вращающихся машин DYNAMICS R4.*

*Ключевые слова: роторная динамика, пространственные стержневые системы, матрицы жесткости и инерции, DYNAMICS R4*

## ***Введение***

Современные тенденции в решении задач роторной динамики газотурбинных двигателей (ГТД) определяют необходимость расчета совместных изгибно-крутильно-осевых колебаний для систем с пространственным расположением осей вращения. Такие системы встречаются в воздушно-реактивных двигателях, трансмиссиях вертолетов, трансмиссиях ветровых установок и т.д.

Ранние версии специализированных программ для решения практических задач роторной динамики предназначались в основном для расчета стержневых роторных систем в осесимметричной постановке. Такая постановка характеризуется соосным расположением осей роторов и корпусов, осесимметричной подвеской, расположением инерционных элементов и т.д. Работы в этом направлении велись Д.В. Хрониным [1], А.В. Ивановым А.В., М.К. Леонтьевым [2] в МАИ, В.О. Бауэр [3] в ЦИАМе и другими исследователями.

Появление мощных конечно-элементных программных систем позволило решать задачи динамики с учетом нарушения осевой симметрии роторных систем. Однако их использование вплоть до настоящего времени связано с большой трудоемкостью моделирования и ограничениями для анализа нелинейных задач в нестационарной постановке с такими специфическими элементами роторных систем, как подшипники скольжения, упруго-демпферные опоры, зазоры, подшипники качения и т.д. Поэтому продолжается использование и развитие алгоритмов и программ, ориентирующихся на моделирование и анализ стержневых

роторных систем, описываемых специальными элементами - балками, оболочками, подшипниками различных типов и т.д.

Расчет связанных колебаний в роторных системах с пересекающимися осями имеет также первостепенное значение при моделировании систем включающих в себя зубчатые зацепления. В мультипликаторах, редукторах может существовать достаточно большое количество валов (подсистем), разнесенных в пространстве и соединенных между собой зубчатыми парами. Оси могут быть параллельными (цилиндрические зубчатые передачи), пересекающимися (конические), скрещивающимися (гипоидные).

В статье представлены математические модели и алгоритмы расчета пространственных стержневых систем. Приведен пример их использования в программной системе Dynamics R4 [4].

### *Уравнение движения*

Обычно общее уравнение динамики для дискретных линейных колебательных систем в матричной форме обычно записывается как:

$$M \cdot \ddot{q} + C \cdot \dot{q} + K \cdot q = Q(t) . \quad (1)$$

В этом уравнении  $M$  – матрица инерции,  $C$  - демпфирующая и гироскопическая матрица,  $K$  - матрица жесткости,  $Q$  – матрица внешних сил,  $q$  – матрица перемещений.

При отсутствии демпфирования задача о собственных значениях и векторах описывается уравнением:

$$M \cdot \ddot{q} + K \cdot q = 0. \quad (2)$$

Уравнение (2) может быть также записано через матрицу податливости.

$$A \cdot M \cdot \ddot{q} + I \cdot q = 0, \quad (3)$$

где  $A$  – матрица податливости,  $I$  – единичная матрица.

Уравнения (2) и (3) легко решаются существующими математическими пакетами напрямую. Мы остановимся на случае, когда движение динамической системы описывается уравнением (2).

Рассмотрим математические модели и алгоритмы построения таких матриц для пространственных систем с пересекающимися осями подсистем, из которых она состоит.

### ***Задание систем координат***

Пусть обобщенная модель роторной системы состоит из  $n$  подсистем, соединенных между собой и с неподвижным основанием  $m$  связями. К подсистемам относим структурные элементы конструкции, описываемые балочными, оболочечными и инерционными конечными элементами. Подсистемами могут быть роторы, корпуса, основания и т.д. Предполагается, что осевые линии подсистем являются скрещивающимися прямыми.

На Рис. 1 показано взаимное расположение координатных систем связанных с началом подсистем. С основанием связана глобальная (основная) правая декартова прямоугольная система координат  $OXYZ$ , а с подсистемами – аналогичные локальные системы  $(O'X'Y'Z')^{(i)}$   $i=1...n$ .

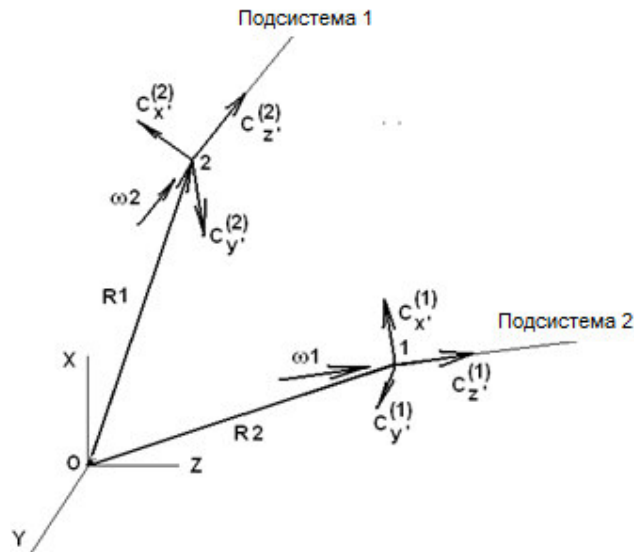


Рис. 1

Оси  $X$  ( $X'$ ) и  $Y$  ( $Y'$ ) во всех подсистемах являются поперечными осями, а ось  $Z$  ( $Z'$ ) – продольной осью. Расположение каждой локальной системы координат относительно основной задается вектором  $\mathbf{R}_i$  и тремя ортами (векторами единичной длины)  $\mathbf{C}_{x'}^{(i)}$ ,  $\mathbf{C}_{y'}^{(i)}$ ,  $\mathbf{C}_{z'}^{(i)}$ .

Вектор  $\mathbf{R}_i$  определяет положение начальной точки  $O'$  локальной системы координат и задается столбцом проекций  $R$  на оси основной координатной системы:

$$R = (R_x, R_y, R_z)^T \quad (4)$$

Верхний индекс  $T$  в записи  $R$  и в дальнейшем означает операцию транспонирования.

Орты  $\mathbf{C}_{x'}$ ,  $\mathbf{C}_{y'}$ ,  $\mathbf{C}_{z'}$  определяют направления соответствующих локальных координатных осей  $X'$ ,  $Y'$ ,  $Z'$  и задаются соответствующими столбцами проекций (направляющих косинусов):

$$\begin{aligned}
Cx' &= (Cx'x, Cx'y, Cx'z)^T; \\
Cy' &= (Cy'x, Cy'y, Cy'z)^T; \\
Cz' &= (Cz'x, Cz'y, Cz'z)^T.
\end{aligned}
\tag{5}$$

Столбцы  $Cx'$ ,  $Cy'$ ,  $Cz'$  образуют матрицу направляющих косинусов  $C$ :

$$C = (Cx' \quad Cy' \quad Cz') = \begin{pmatrix} Cx'x & Cy'x & Cz'x \\ Cx'y & Cy'y & Cz'y \\ Cx'z & Cy'z & Cz'z \end{pmatrix}.
\tag{6}$$

С использованием матрицы  $C$  (6) преобразования локальных проекций в глобальные проекции и обратно для произвольного вектора  $V$  записываются следующим образом:

$$V = C \cdot V'; \quad V' = C^T \cdot V.
\tag{7}$$

Ориентация осей локальной системы координат может быть задана тремя углами Эйлера  $\psi$ ,  $\theta$  и  $\varphi$ , где  $\psi$  - угол прецессии (угол начального разворота осей  $X$  и  $Y$  вокруг оси  $Z$ );  $\theta$  - угол нутации (угол отклонения оси  $Z'$  от оси  $Z$ , полученный вращением вокруг нового положения оси  $Y$ );  $\varphi$  - угол собственного вращения (угол поворота относительно оси  $Z'$  системы осей координат, полученной в результате предыдущих операций).

Матрица  $C$  направляющих косинусов осей локальной системы координат может быть выражена через тригонометрические функции углов Эйлера (8):

$$C = \begin{pmatrix} \cos\varphi \cdot \cos\theta \cdot \cos\psi - \sin\varphi \cdot \sin\psi & \cos\varphi \cdot \cos\theta \cdot \sin\psi + \sin\varphi \cdot \cos\psi & -\cos\varphi \cdot \sin\theta \\ -\sin\varphi \cdot \cos\theta \cdot \cos\psi - \cos\varphi \cdot \sin\psi & -\sin\varphi \cdot \cos\theta \cdot \sin\psi + \cos\varphi \cdot \cos\psi & \sin\varphi \cdot \sin\theta \\ \sin\theta \cdot \cos\psi & \sin\theta \cdot \sin\psi & \cos\theta \end{pmatrix}^T.
\tag{8}$$

Если ориентация осей локальной системы координат задается последовательными поворотами вокруг оси  $X$ , промежуточного положения оси  $Y'$  и окончательного положения оси  $Z'$  на углы  $\alpha$ ,  $\beta$  и  $\gamma$  соответственно, то

транспонированную матрицу  $C$  можно получить перемножением трех матриц поворота (9):

$$C^T = \begin{pmatrix} \cos\gamma & \sin\gamma & 0 \\ -\sin\gamma & \cos\gamma & 0 \\ 0 & 0 & 1 \end{pmatrix} \cdot \begin{pmatrix} \cos\beta & 0 & -\sin\beta \\ 0 & 1 & 0 \\ \sin\beta & 0 & \cos\beta \end{pmatrix} \cdot \begin{pmatrix} 1 & 0 & 0 \\ 0 & \cos\alpha & \sin\alpha \\ 0 & -\sin\alpha & \cos\alpha \end{pmatrix}. \quad (9)$$

Вращение подсистем задается столбцом угловых скоростей  $\omega = (\omega_1, \omega_2, \dots, \omega_n)^T$ , где  $\omega_i$  - угловая скорость вращения  $i$ -той подсистемы, взятая со знаком '+' или '-'. В принятой нами правой системе координат положительным вращением считается вращение по часовой стрелке, если смотреть в направлении орта  $Cz'$  продольной оси подсистемы. На Рис. 1 показано расположение вектора скорости вращения подсистемы для случая положительного вращения. При изменении направления (знака) вращения изменяется и направление вектора  $\omega$ .

### ***Описание пространственной стержневой системы***

Обобщенная модель стержневой системы состоит из ряда пространственных подсистем, соединенных между собой и с неподвижным основанием упругими связями. Каждая подсистема представлена в виде последовательно соединенных элементарных участков, разделенных сечениями. Любое сечение характеризуется набором двух индексов  $(s, i)$ , где  $s$  - номер подсистемы,  $i$  - номер сечения в подсистеме,  $s = 1, 2, \dots, nS$ ,  $i = 0, 1, \dots, nel(s)$ ,  $nS$  - число подсистем,  $nel(s)$  - число участков в подсистеме  $s$ . Номера участков в подсистеме совпадают с номерами сечений, расположенных в конце участка.

Элементарные участки подсистем задаются матрицами жесткости  $k_i^{(s)}$ , и матрицами инерции  $MI_i^{(s)}$  и  $M2_i^{(s)}$  начального и конечного сечения соответственно.

Матрицы жесткости входят в матричные уравнения участков

$$q_i^{(s)} \cdot k_i^{(s)} = Qr_i^{(s)}, \quad (10)$$

Матрицы инерции  $MI_i^{(s)}$  и  $M2_i^{(s)}$  входят в матричные уравнения, описывающие инерционные нагрузки элементарных участков, приведенные к начальному и конечному сечениям.

$$\begin{aligned} Qi_{i-1}^{(s)} &= -MI_i^{(s)} \cdot \ddot{q}_{i-1}^{(s)}; \\ Qi_i^{(s)} &= -M2_i^{(s)} \cdot \ddot{q}_i^{(s)}, \end{aligned} \quad (11)$$

где  $Qi_{i-1}^{(s)}$ ,  $\ddot{q}_{i-1}^{(s)}$ ,  $Qi_i^{(s)}$ ,  $\ddot{q}_i^{(s)}$  - столбцы инерционных нагрузок и ускорений перемещений начального и конечного сечений рассматриваемого элементарного участка.

Связи задаются матрицами жесткости  $k^{(L)}$ , которые входят в матричные уравнения, описывающие деформации связей

$$Qr_2^{(L)} = -k^{(L)} \cdot q_2^{(L)}, \quad L = 1, 2, \dots, nL, \quad (12)$$

где  $nL$  - число связей;  $k^{(L)}$  - матрица жесткости связи с порядковым номером  $L$ ;  $q_2^{(L)}$  - столбец перемещений конечного сечения;  $Qr_2^{(L)}$  - столбец реакций связи в конечном сечении, возникающих при перемещениях конечного сечения, заданных столбцом  $q_2^{(L)}$ , при условии заделки начального сечения.

Начальное и конечное сечение связи совпадают с сечениями подсистем, задаваемых парами индексов  $(s1, i1)$  и  $(s2, i2)$  соответственно.

Взаимное расположение сечений подсистем, матрицы жесткости и инерции элементарных участков, матрицы жесткости связей - задаются в локальных системах координат, определенным образом ориентированных относительно единой для всей системы глобальной системы координат OXYZ. Преобразования векторов и матриц, связанные с переходом от локальных систем координат к глобальной координатной системе описано выше.

После перехода в глобальную систему координат расположение сечений  $s$ -ой подсистемы в исходном недеформированном состоянии задается радиус векторами  $R_i^{(s)}$ , как это показано на рис. 2.

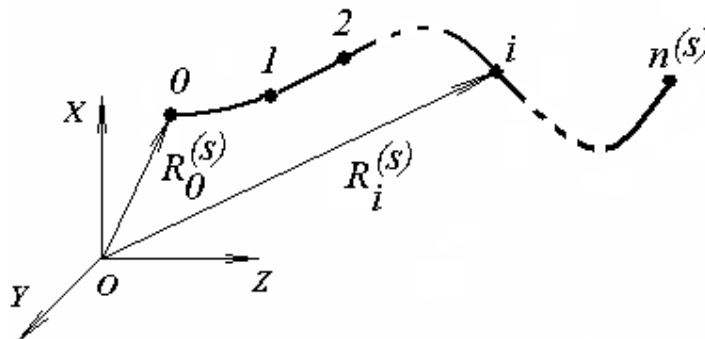


Рис. 2

Перемещения сечений и внутренние нагрузки, действующие на сечение со стороны участка, следующего за сечением, представляются в виде столбцов

$$q = \begin{pmatrix} u \\ \varphi \end{pmatrix}; \quad Q = \begin{pmatrix} P \\ T \end{pmatrix}, \quad (13)$$

где  $u, \varphi, P, T$  - столбцы проекций на координатные оси векторов линейного перемещения, углового перемещения, силы и момента:

$$u = (u_x, u_y, u_z)^T, \quad \varphi = (\varphi_x, \varphi_y, \varphi_z)^T,$$

$$P = (P_x, P_y, P_z)^T, \quad T = (T_x, T_y, T_z)^T.$$

Аналогично представляются реакции связей  $Q_r$ , инерционные нагрузки  $Q_i$  и внешние нагрузки  $\Delta Q$ :

$$Q_r = \begin{pmatrix} Pr \\ Tr \end{pmatrix}; \quad Q_i = \begin{pmatrix} Pi \\ Ti \end{pmatrix}; \quad \Delta Q = \begin{pmatrix} \Delta P \\ \Delta T \end{pmatrix}. \quad (14)$$

Наряду с введенными выше обозначениями в дальнейших описаниях будут использоваться матрицы  $O_n, I_n, O, I, W(r)$ , которые определяются следующим образом:

$O_n$  и  $I_n$  – квадратные нулевая и единичная матрицы порядка  $n$ ;

$O$  и  $I$  – квадратные нулевая и единичная матрицы, порядки которых определяются из контекста;

$W(r)$  – антисимметричная квадратная матрица, используемая при матричной записи векторных произведений. Элементы матрицы  $W(r)$  определяются проекциями вектора  $r$  на координатные оси

$$W(r) = \begin{pmatrix} 0 & r_z & -r_x \\ -r_z & 0 & r_y \\ r_x & -r_y & 0 \end{pmatrix}. \quad (15)$$

С учетом принятых обозначений координат матрицы инерции начального и конечного сечений  $i$  – того участка подсистемы  $s$  могут быть записаны следующим образом

$$M I_i^{(s)} = \begin{pmatrix} mI \cdot I_3 & W(SI) \\ W(SI)^T & JI \end{pmatrix}_i^{(s)}, \quad SI = \begin{pmatrix} SI_x \\ SI_y \\ SI_z \end{pmatrix}_I^{(s)};$$

$$M2_i^{(s)} = \begin{pmatrix} m2 \cdot I_3 & W(S2) \\ W(S2)^T & J2 \end{pmatrix}_i^{(s)}, \quad S2 = \begin{pmatrix} S2_x \\ S2_y \\ S2_z \end{pmatrix}_i^{(s)},$$

где  $m1_i^{(s)}, m2_i^{(s)}$  - массы, присоединяемые к начальному и конечному сечению

элементарного участка;

$$SI_i^{(s)} = \begin{pmatrix} SI_x \\ SI_y \\ SI_z \end{pmatrix}_i^{(s)}, \quad S2_i^{(s)} = \begin{pmatrix} S2_x \\ S2_y \\ S2_z \end{pmatrix}_i^{(s)} - \text{столбцы проекций векторов статических}$$

моментов масс  $m1_i^{(s)}$  относительно начального и масс  $m2_i^{(s)}$  относительно конечного сечения элементарного участка соответственно;

$$JI_i^{(s)} = \begin{pmatrix} JI_{xx} & JI_{xy} & JI_{xz} \\ JI_{yx} & JI_{yy} & JI_{yz} \\ JI_{zx} & JI_{zy} & JI_{zz} \end{pmatrix}_i^{(s)}, \quad J2_i^{(s)} = \begin{pmatrix} J2_{xx} & J2_{xy} & J2_{xz} \\ J2_{yx} & J2_{yy} & J2_{yz} \\ J2_{zx} & J2_{zy} & J2_{zz} \end{pmatrix}_i^{(s)} - \text{матрицы моментов}$$

инерции масс  $m1_i^{(s)}$  относительно начального и масс  $m2_i^{(s)}$  относительно конечного сечения элементарного участка соответственно.

### ***Матрица статической жесткости элементарного участка***

Жесткость  $i$ -го элементарного участка подсистемы  $s$  описывается полной матрицей  $K_i^{(s)}$ , которая входит в матричное уравнение

$$\begin{pmatrix} Q_{i-1}^{(s)} \\ Q_i^{(s)} \end{pmatrix} = -K_i^{(s)} \cdot \begin{pmatrix} q_{i-1}^{(s)} \\ q_i^{(s)} \end{pmatrix} \quad (16)$$

Матрица  $K_i^{(s)}$  может быть представлена в блочном виде

$$K_i^{(s)} = \begin{pmatrix} K_{11} & K_{12} \\ K_{21} & K_{22} \end{pmatrix}_i^{(s)}. \quad (17)$$

### *Матрицы статической жесткости упругой связи между подсистемами*

Полная жесткость  $K^{(L)}$  упругой связи с порядковым номером  $L$  определяется матричным уравнением

$$\begin{pmatrix} Q_1 \\ Q_2 \end{pmatrix}^{(L)} = -K^{(L)} \cdot \begin{pmatrix} q_1 \\ q_2 \end{pmatrix}^{(L)}, \quad (18)$$

где  $q_1^{(L)} = (q_{i1}^{(s1)})^{(L)}$  и  $q_2^{(L)} = (q_{i2}^{(s2)})^{(L)}$  – столбцы перемещений

начального и конечного сечения связи соответственно;

$Q_1^{(L)} = (Q_{i1}^{(s1)})^{(L)}$  и  $Q_2^{(L)} = (Q_{i2}^{(s2)})^{(L)}$  – столбцы реакций связи в указанных сечениях.

Матрица  $K^{(L)}$  может быть представлена в блочном виде

$$K^{(L)} = \begin{pmatrix} K_{11} & K_{12} \\ K_{21} & K_{22} \end{pmatrix}^{(L)}. \quad (19)$$

Блоки, входящие в выражение (19), вычисляются через известную матрицу жесткости  $K^{(L)}$  свободного конечного сечения связи при заделанном начальном сечении по формулам:

$$\begin{aligned} K_{11}^{(L)} &= D^T \cdot K_{22}^{(L)} \cdot D; & K_{12}^{(L)} &= -D^T \cdot K_{22}^{(L)}; \\ K_{21}^{(L)} &= (K_{12}^{(L)})^T; & K_{22}^{(L)} &= k^{(L)}, \end{aligned} \quad (20)$$

где

$$D = \begin{pmatrix} I_3 & W(r) \\ 0_3 & I_3 \end{pmatrix}, \quad r = (R_{i2}^{(s2)})^{(L)} - (R_{i1}^{(s1)})^{(L)};$$

$(R_{i2}^{(s2)})^{(L)}$  и  $(R_{i1}^{(s1)})^{(L)}$  – радиусы векторы начального и конечного сечения

связи.

## **Построение матрицы жесткости динамической системы**

Полная матрица жесткости всей системы получается наложением матриц жесткостей элементарных участков и связей обычным способом, используемым во всех конечно-элементных системах.

Матрица подсистемы  $s$ , получается наложением матриц ее элементарных участков по следующей схеме:

$$K^{(s)} = \begin{pmatrix} K_{11} & K_{12} & O_6 & \cdots & O_6 \\ K_{21} & K_{22} & K_{23} & \cdots & O_6 \\ O_6 & K_{32} & K_{33} & \cdots & O_6 \\ \vdots & \vdots & \vdots & \ddots & \vdots \\ O_6 & O_6 & O_6 & \cdots & K_{n+1,n+1} \end{pmatrix}^{(s)}, \quad (21)$$

где

$$\begin{aligned} K_{11}^{(s)} &= (K_{11})_1^{(s)}; & K_{12}^{(s)} &= (K_{12})_1^{(s)}; \\ K_{21}^{(s)} &= (K_{21})_1^{(s)}; & K_{22}^{(s)} &= (K_{22})_1^{(s)} + (K_{11})_2^{(s)}; & K_{23}^{(s)} &= (K_{12})_2^{(s)}; \\ & & K_{32}^{(s)} &= (K_{21})_2^{(s)}; & K_{33}^{(s)} &= (K_{22})_2^{(s)} + (K_{11})_3^{(s)}; & \dots \\ & & & & & \dots & K_{n+1,n+1}^{(s)} = (K_{22})_{n(s)}^{(s)}. \end{aligned}$$

Процедура формирования матрицы подсистемы графически представлена на рис. 3. Полные матрицы жесткости элементарных участков, размером 12x12, располагаются по диагонали. Места наложения, в которых производится суммирование диагональных блоков полных матриц элементарных участков, показаны более темным цветом и соответствуют матрицам жесткости внутренних сечений подсистемы, разделяющих соседние элементарные участки. Эти матрицы имеют размер 6x6.

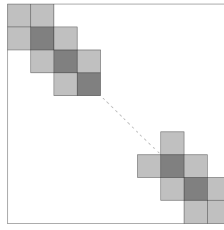


Рис. 3

Полная матрица жесткости системы, состоящей из  $n$  несвязанных между собой подсистем, является блочно-диагональной матрицей, составленной из матриц входящих в нее подсистем

$$K = \text{diag}(K^{(1)}, K^{(2)}, \dots, K^{(n)}). \quad (22)$$

Графическое изображение такой матрицы представлено на рис. 4.

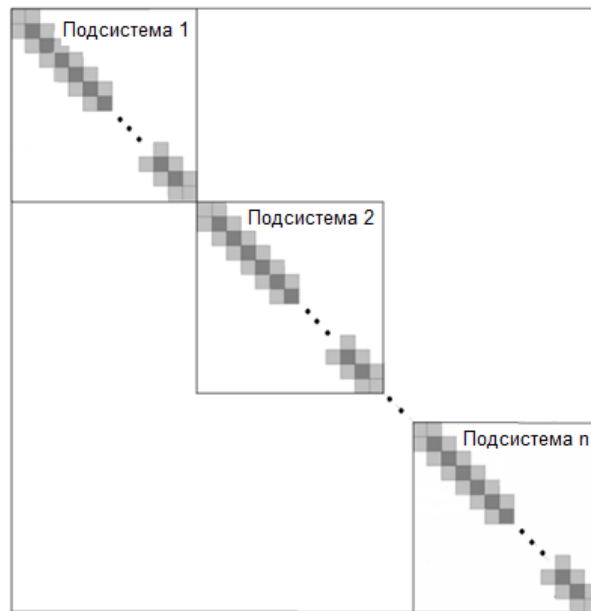


Рис. 4

Добавление упругой связи сводится к суммированию блоков полной матрицы добавляемой связи с блоками полной матрицы системы. При добавлении связи с порядковым номером  $L$ , начальное сечение которой является сечением  $i/l$

подсистемы  $s1$ , а конечное сечение – сечением  $i2$  подсистемы  $s2$ , суммирование блоков производится по следующей схеме:

$$\begin{aligned} K_{i1,i1}^{(s1,s1)} &\Leftarrow K_{i1,i1}^{(s1,s1)} + K_{11}^{(L)}; & K_{i1,i2}^{(s1,s2)} &\Leftarrow K_{i1,i2}^{(s1,s2)} + K_{12}^{(L)}; \\ K_{i2,i1}^{(s2,s1)} &\Leftarrow K_{i2,i1}^{(s2,s1)} + K_{21}^{(L)}; & K_{i2,i2}^{(s2,s2)} &\Leftarrow K_{i2,i2}^{(s2,s2)} + K_{22}^{(L)}, \end{aligned} \quad (23)$$

где верхние индексы являются индексами блочно диагональной матрицы, образованной матрицами подсистем, а нижние индексы - индексами сечений, выделяющих внутри блоков этой матрицы подблоки соответствующих сечений.

На рис. 5 в качестве примера дано графическое изображение процедуры преобразования полной матрицы системы, показанной на рис. 4, при добавлении связи, соединяющей второе сечение первой подсистемы с пятым сечением второй подсистемы.

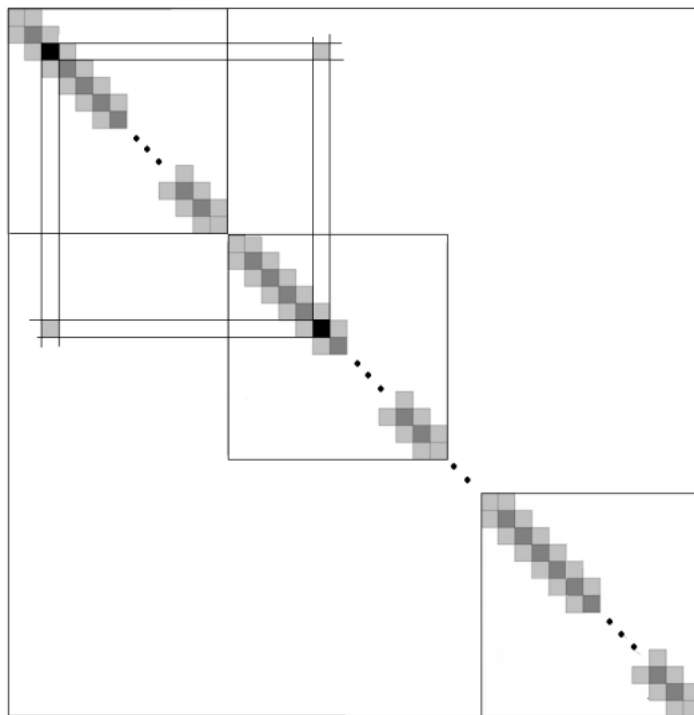


Рис. 5

В результате описанных выше операций получается полная матрица статической жесткости системы, с помощью которой можно определить внешние нагрузки  $\Delta Q$ , которые надо приложить к сечениям системы, чтобы получить заданные перемещения  $q$  этих сечений. Соответствующее матричное уравнение имеет вид

$$\Delta Q = K \cdot q, \quad (24)$$

где  $q$  – столбец перемещений всех сечений системы, начиная с начального нулевого сечения первой подсистемы и кончая последним сечением.

последней подсистемы;  $\Delta Q$  – столбец внешних нагрузок, соответствующих перемещениям столбца  $q$ .

### ***Построение матрицы инерции динамической системы***

Полная матрица инерции  $M$  системы является блочно диагональной матрицей, составленной из матриц инерции подсистем

$$M = \text{diag}( M^{(1)}, M^{(2)}, \dots, M^{(nS)} ). \quad (25)$$

Матрицы инерции подсистем также являются блочно-диагональными матрицами, составленными из матриц инерции сечений. Матрицы инерции сечений подсистемы  $s$  составляются из матриц инерции элементарных участков по следующей схеме:

$$\begin{aligned} M_{11}^{(s)} &= M I_1^{(s)}; \\ M_{22}^{(s)} &= M Z_1^{(s)} + M I_2^{(s)}; \quad M_{33}^{(s)} = M Z_2^{(s)} + M I_3^{(s)}; \dots, \quad M_{n(s)n(s)}^{(s)} = M Z_{n(s)}^{(s)} + M I_{n(s)+1}^{(s)}; \\ M_{n(s)+1, n(s)+1}^{(s)} &= M Z_{n(s)}^{(s)}. \end{aligned} \quad (26)$$

В результате описанных операций получается полная матрица инерции системы, с помощью которой можно определить инерционные внешние нагрузки  $Q_i$ , которые надо приложить к сечениям системы, движущимся с заданными ускорениями  $\ddot{q}$ , чтобы обеспечить равновесие приложенных к системе сил и моментов и, в соответствии с принципом Даламбера, свести динамическую задачу к задаче статической. Соответствующее матричное уравнение имеет вид

$$Q_i = -M \cdot \ddot{q}. \quad (27)$$

### ***Пример расчета стержневой пространственной системы***

На рис. 6 приведена динамическая система из трех стержневых подсистем, соединенных между собой жесткими связями.

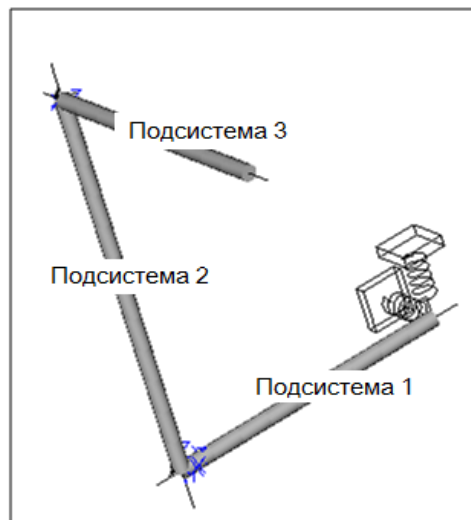


Рис. 6

Подсистемы 1, 2 и 3 расположены друг к другу под прямыми углами, так как показано на рисунке. Описываются цилиндрическими балками со следующими параметрами:

- диаметр балок  $D_1=D_2=D_3=50$  мм;

- длина балок  $L_1=L_3=900$  мм,  $L_2= 1200$  мм;
- плотность материала  $\rho=7850$  кг/м<sup>3</sup>;
- модуль упругости 1-го рода  $E=2.1 \cdot 10^{11}$  Н/м<sup>2</sup>;
- коэффициент Пуассона  $\mu=0.3$ .

Матрицы жесткости связей между подсистемами диагональные. Прямые коэффициенты жесткости связей по всем степеням свободы имеют значения  $1 \cdot 10^{11}$  Н/м, что приближает их к абсолютно жестким связям.

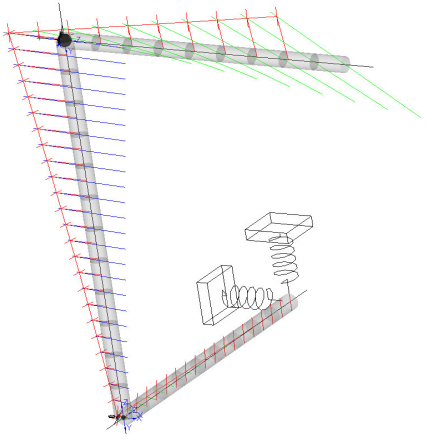
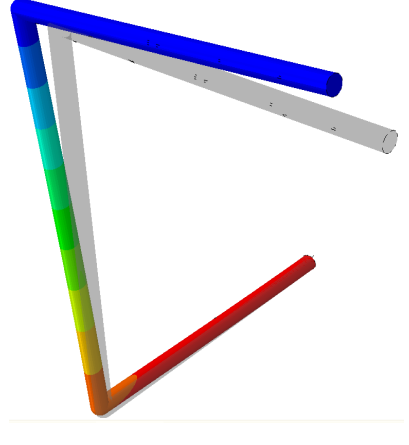
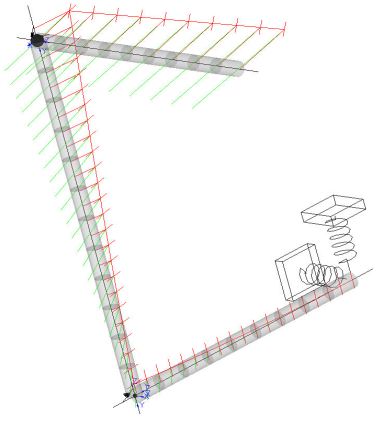
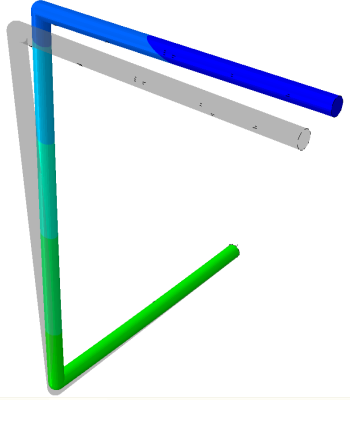
В таблице 1 показаны частоты собственных колебаний исследуемой пространственной системы, полученные по разработанным алгоритмам и полученные в конечно-элементной программе. Рассчитаны первые 13 форм колебаний. В приведенных формах колебаний (таблица 2) выделены только поперечные перемещения, крутильные и осевые перемещения не показаны, чтобы не загромождать рисунки.

Таблица 1

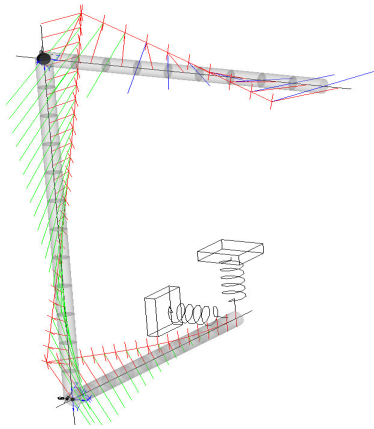
№ формы	DYNAMICS R4	МКЭ балочные элементы	Погрешность %
	Гц	Гц	
0	5.304	5.303	0.02
1	5.890	5.889	0.02
2	16.952	16.941	0.07
3	18.498	18.492	0.03
4	31.504	31.490	0.04
5	45.970	45.942	0.06
6	103.709	103.780	-0.07
7	125.055	125.140	-0.07
8	220.269	221.150	-0.40
9	220.917	221.570	-0.30
10	257.174	257.900	-0.28
11	259.665	260.340	-0.26

12	362.708	363.770	-0.29
13	386.225	387.660	-0.37

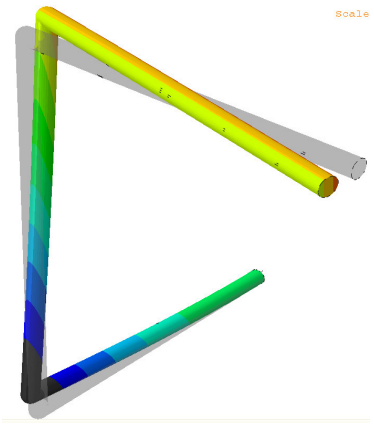
Таблица 2

Dynamics R4	МКЭ
<p data-bbox="532 556 667 594">5.304 Гц</p> 	<p data-bbox="1068 556 1203 594">5.303 Гц</p> 
<p data-bbox="532 1270 667 1308">5.890 Гц</p> 	<p data-bbox="1068 1270 1203 1308">5.889 Гц</p> 

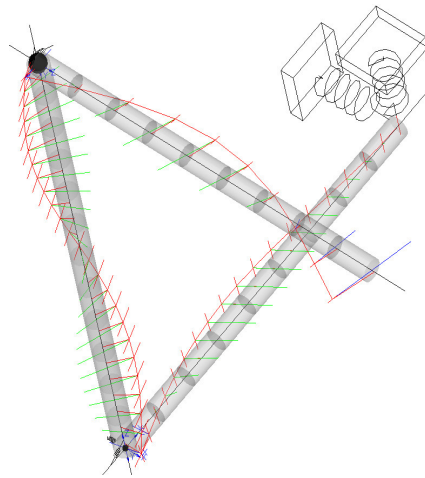
16.952 Гц



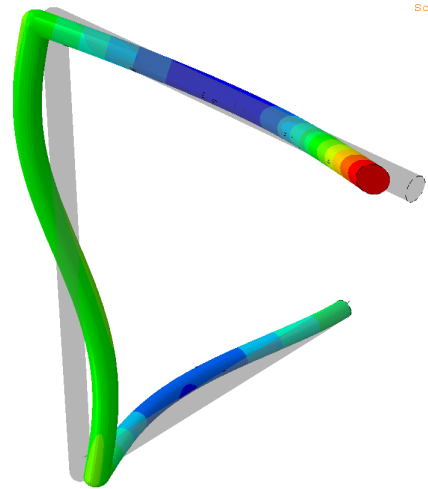
16.941 Гц



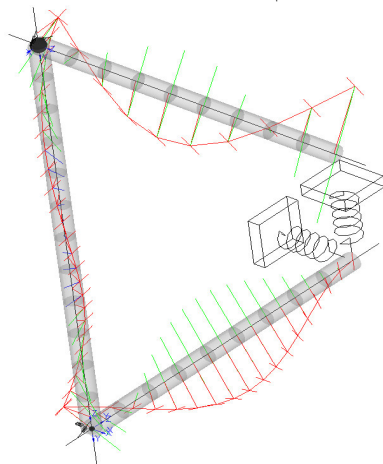
220.269 Гц



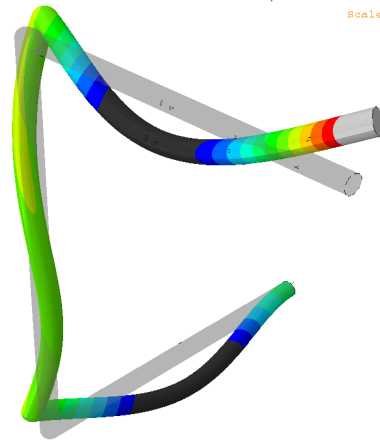
221.150 Гц



259.665 Гц



260.340 Гц



Сравнение полученных частот и форм колебаний показывает практически полную сходимость результатов.

### **Выводы**

Разработаны математические модели, алгоритмы и программный модуль для моделирования и анализа сложных пространственных систем, состоящих из стержневых подсистем с упругими связями между собой в среде программной системы DYNAMICS R4. Применение этих разработок позволяет рассчитывать совместные изгибно-продольные колебания многовальных динамических систем с учетом пространственного расположения их валов, корпусов, инерционных элементов, подвески и т.д.

### **Благодарности**

Авторы выражают благодарность компании ООО “Альфа-Транзит” (Россия) и компании INA (Германия), предоставивших возможность и средства провести необходимые разработки и исследования.

### **Список использованных источников**

1. Д.В. Хронин. Теория и расчет колебаний в двигателях летательных аппаратов, М.: Машиностроение, 1980 г. -411 с.
2. А.В. Иванов, М.К. Леонтьев. Модальный анализ динамических систем роторов “Известия высших учебных заведений. Авиационная техника”. 2005, №3. С.31-35.
3. В.О. Бауэр, И.А. Биргер и др. Динамика авиационных двигателей, М.: Машиностроение, 1981 г. - 232 с.

4. Леонтьев М.К., Дегтярев С.А. и др. Программная система расчета динамики роторов Dynamics 4. Свидетельство об отраслевой разработке №6691. Отраслевой фонд алгоритмов и программ. Государственный информационный центр информационных технологий. Министерство образования Российской Федерации. 2006 г.

УДК 629.7.036.34

## **МОДЕЛИРОВАНИЕ РОТОРНЫХ ДИНАМИЧЕСКИХ СИСТЕМ С ПРОСТРАНСТВЕННЫМ РАСПОЛОЖЕНИЕМ ВАЛОВ**

### **Авторы**

Леонтьев М.К., Иванов А.В., Дегтярев С.А.

### **Аннотация**

*Стержневые модели роторных систем и модальные методы их анализа продолжают оставаться востребованными при решении практических задач роторной динамики. Существующие алгоритмы и программы анализа таких моделей в основном решают задачи в осесимметричной постановке. Вместе с тем существует большое количество конструкций, в которых требуется строить многовальные модели роторных систем с пространственным расположением осей их подсистем - валов и корпусных элементов. В статье рассматривается построение уравнений движения для такого рода систем, позволяющих проводить расчеты совместных изгибно-продольно-крутильных колебаний любой пространственной системы, включающей подсистемы с параллельными, скрещивающимися, пересекающимися осями. Приводятся пример расчета такой системы в программе для расчета динамических характеристик вращающихся машин DYNAMICS R4.*

**Ключевые слова:** *роторная динамика, пространственные стержневые системы, матрицы жесткости и инерции, DYNAMICS R4*

### **Сведения об авторах**

Леонтьев Михаил Константинович, профессор Московского авиационного института (государственного технического университета); доктор технических наук. МАИ, Волоколамское ш., 4, Москва, А-80, ГСП-3, 125993; тел.: 8-985-768-71-29; e-mail: [lemk@alfatran.com](mailto:lemk@alfatran.com)

Иванов Александр Владимирович, доцент Московского Авиационного института; кандидат технических наук. МАИ, Волоколамское ш., 4, Москва, А-80, ГСП-3, 125993; тел.: 8 -499-158-44-72.

Дегтярев Сергей Александрович, руководитель направления Научно-технического центра по роторной динамике ООО "Альфа-Транзит". Россия, Московская обл., 141400, г. Химки, ул. Ленинградская, 1; tel.: 8-495-232-60-91, e-mail: [degs@alfatran.com](mailto:degs@alfatran.com)

## **SIMULATING OF ROTOR DYNAMIC SYSTEMS WITH SPATIAL SHAFTS**

### **POSITIONS**

**Authors:** Leontiev M.K., Ivanov A.V., Degtyarev S. A.

#### **Annotation**

*Bar models of rotor systems and modal analysis methods continue to be important in solution of practical tasks of rotor dynamics. The existing algorithms and programs solve mainly the multi-shaft rotor system in axisymmetric statement. However, there are a large number of designs, for which it is necessary to build a rotor dynamic models with spatial arrangement of the shafts and another body elements. This article focuses on building equations of motion for such systems to enable calculations of coupled lateral-axial-torsional oscillations of any spatial system consisting of subsystems with skew and intersecting axes. Calculation example of spatial core system by means of DYNAMICS R4 software are given*

**Keywords:** *rotor dynamics, bar models, spatial shaft positions, stiffness and inertia matrixes, DYNAMICS R4*

**Leontiev Mikhail Konstantinovich**, professor of Moscow Aviation Institute (State Technical University), PhD, Doctor of Technical Science, MAI, Volokolamskoe road., 4, Moscow, A-80, GSP-3, 125993; tel.: 8-985-768-71-29; e-mail: [lemk@alfatran.com](mailto:lemk@alfatran.com)

**Ivanov Aleksandr Vladimirovich**, lecturer of Moscow Aviation Institute (State Technical University), PhD, MAI, Volokolamskoe road., 4, Moscow, A-80, GSP-3, 125993; tel.: 8-499-158-44-72.

**Degtyarev Sergey Aleksandrovich**, project chairman, scientific and technical centre of rotor dynamic Alfa-Tranzit LTd., Co, Russia , Moscow region, 141400, Khimky, Leningradskaya street, 1 Tel/fax: 7-495- 2326091 Tel: 7-495- 7687129 www.alfatran.com, e-mail: [degs@alfatran.com](mailto:degs@alfatran.com)